

## (討13)

## 鋼の変形能および延性破壊過程におよぼす組織の効果

神戸製鋼所 中央研究所

○井上毅

工博木下修司

## 1. 結言

1962年 Edelson ら<sup>(1)</sup>が銅基合金において、第2相粒子の体積率( $V_f$ )と破壊延性( $\epsilon_f$ )の関係を調べ、第1次近似として  $\epsilon_f$  は  $V_f$  によつて決まることを示して以来、 $\epsilon_f$  を  $V_f$  の関数として表わそうとする努力が行なわれ、多くのモデルとそれにもとづくクライテリアが提唱されてきた。しかしこれらのモデルの問題点として、①これらの多くはポイドの成長段階を取扱うもので、ポイドは変形前から存在するか、または変形のごく初期に発生し、ポイド発生までの歪量は無視できるとしていること、②これらのモデルに基づく理論式では、第2相粒子の大きさ、形状、分布などの第2、第3の近似項の効果については説明されていないこと等が挙げられる。①については実用材ではこのような条件は必ずしも満足されず、たとえば鋼中の球状炭化物にポイドが発生するのは変形のかなり後期に入つてからであり、ポイドの発生までの歪量は無視できない<sup>(2,3)</sup>。②についても多くの実用材で第2相粒子の形状などが破壊延性に大きな効果をもつことはよく知られており、鋼においても炭化物の体積率が同一でも析出形態によつて破壊延性は大巾に異なる。

このようなマクロ的なアプローチとは別に、Ashby<sup>(4)</sup>らの行なつているような、個々の第2相粒子のまわりの局部応力-歪場のミクロ的な解析からポイドの発生を論じようとするものがあり、このようなアプローチでは第2相粒子の大きさ、形状などの効果は取扱い易い反面、体積率などの取扱いがむつかしく、材料全体としてのマクロ的な挙動にまで拡張するに到つていない。

本研究では、鋼の変形能(破壊延性)および延性破壊過程におよぼす組織の効果を調べ、従来の  $\epsilon_f$  と  $V_f$  の考察から一步進め、第2相粒子の形態の効果も考慮に入れて考察を試みる。

## 2. 実験結果

## 2.1 炭化物の体積率および析出形態の効果

Fe-C系においてC量を0.05~0.91wt%にて変

え、それぞれの組織を(フェライト+)パーライトと球状炭化物組織とした。前者は焼なまし処理で、後者は焼入れ後700°Cで焼もどし処理により得、焼もどし時間を1, 20, 100 hrにて変えて球状炭化物粒径を変化させた。各組織における  $\epsilon_f$  と  $V_f$  の関係を図1に示す。この結果によると、まず  $\epsilon_f$  と  $V_f$  の関係は夫々の組織について双曲線的な関係を示し、Edelson らの結果と一致しているが、同一  $V_f$  においても  $\epsilon_f$  は組織によつて大きく異なり、 $\epsilon_f$  は  $V_f$  によつてのみ決まるものではないことを示している。もう1つ注目すべきことは、球状炭化物組織においては、炭化物の大きさが異なつても  $\epsilon_f$  はほぼ同じであることがある。この点については後で詳しく述べるが、炭化物の大きさが延性破壊過程に関係しないのではなく、ポイドの発生および成長という個々の過程には大きな効果をもつが、結果的に  $\epsilon_f$  がほぼ同じになつてしまふと考えるべきである。

## 2.2 球状炭化物組織における粒径の効果

上記の点について詳しく調べるために、 $V_f$  一定(0.4% C)とし、同様の焼入れ焼もどし法により焼もどし時間を1, 3, 5, 20, 50, 100, 200 hrにて変え、平均炭化物粒径を0.3~2μにてえた。このときの  $\epsilon_f$  は粒径によらずほぼ一定

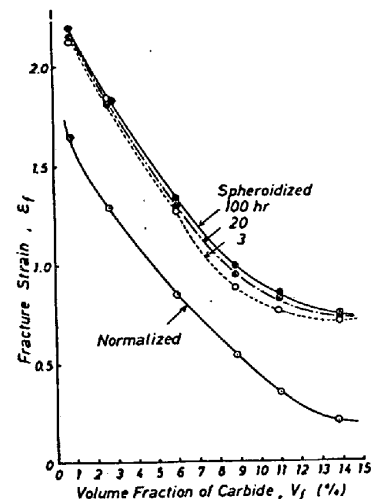


図1 炭化物の体積率と

破壊延性の関係

である。 つぎに球状炭化物粒径 ( $d_p$ ) が延性破壊過程にどのような効果をもつかを調べた。  $\epsilon_f$  が一定であれば  $d_p$  が大きくなることは粒間距離 ( $L$ ) が大きくなることであり、この点にも着目し、 $d_p$  および  $L$  と炭化物にポイドが発生するまでの歪量 ( $\epsilon_I$ ) との間の関係を調べた結果が 図 2 である。 この結果によると、 $d_p$  が大きくなるほど、即ち  $L$  が大きくなるほど  $\epsilon_I$  は大きくなる。 即ち、 $d_p$  は延性破壊の第 1 段階（塑性変形の開始からポイドの発生まで）には大きな効果をもつことを示している。 この結果についてはすでに発表した<sup>(3)</sup>ので詳細は割愛するが、 $\epsilon_I$  はマトリックスの転位密度が臨界値に達したときにはポイドが発生すると考えることにより説明できる。

### 2.3 フエライト+パーライト組織、パーライトとペイナイトの混合組織、ペイナイト組織の破壊延性

C量の異なる 2 種類の Cr-Mo 鋼 (SCM21, SCM4) を用い、オーステナイト化後 680, 650, 600, 550, 500 および 450°C の各温度にて保持した鉛浴中で恒温変態を行ない、上記の各組織を得、夫々の  $\epsilon_f$  および延性破壊過程を調べた。 $\epsilon_f$  と変態温度の関係を 図 3 に示す（後で述べるモデルによる計算値も合せて示す）。各変態温度における生成組織は 680~650°C ではフエライト+パーライトで、変態温度が低くなるにつれてパーライトの体積率の増加（過冷現象）、層間隔の減少という組織要因の変化とともになっている。550°C ではパーライトとペイナイトの混合組織となり、大きなパーライトノジュールとその間を埋める、細かく均一に分布した炭化物をともなうペイナイトからなっている。さらに変態温度が低下するとペイナイト 1 相となる。SCM4 の 500 および 450°C 変態の組織を写真 1 に示す。変態温度および組織の変化にともなう  $\epsilon_f$  の挙動を見ると、組織がパーライトとなる温度域では温度の低下とともに  $\epsilon_f$  は減少する傾向を示し、パーライトとペイナイトが混在すると  $\epsilon_f$  はいちじるしく低下する。さらに変態温度が低下しペイナイト 1 相となると  $\epsilon_f$  はかえって回復する。この挙動は両鋼種とも同じである。

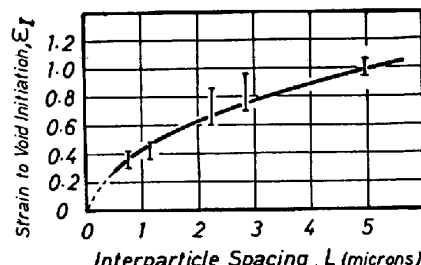


図 2 球状炭化物組織における粒間距離とポイド発生までの歪量の関係

### 3. 考 察

3.1 延性破壊過程 延性破壊過程はポイドの発生、その成長および最終破断の段階からなっている。いま塑性変形の開始からポイド発生までを第 1 段階とし、この段階の塑性歪量を  $\epsilon_I$  とする。またポイドが発生した後成長し、最終破断に移るまでを第 2 段階とし、この間の歪量を  $\epsilon_{II}$  とする。最終破断段階を第 3 段階とし、この段階の歪量を  $\epsilon_{III}$  とする。各段階の機構は後で述べるとし、これらの歪量を対数歪で表わした場合、 $\epsilon_f$  はこれらの和で示される。第 3 段階は局部的には大きな歪をともなうことが予想されるが、マクロ歪としては無視しうるほど小さいと考えてよいから次式となる。

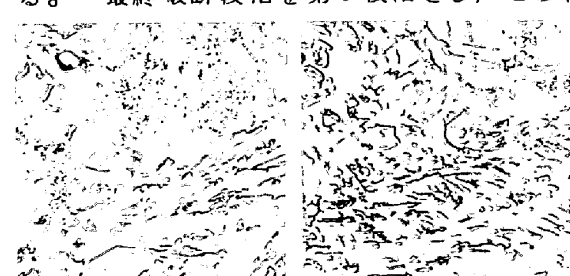


写真 1 SCM4 の 500°C (左) および 450°C (右) の変態生成組織

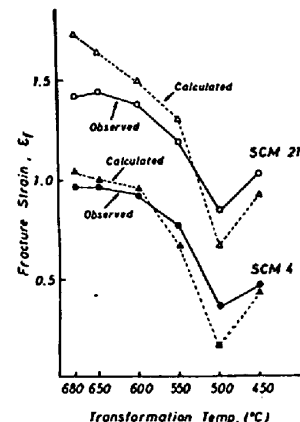


図 3 SCM21, SCM4 における変態温度と破壊延性の関係

3.2 延性破壊の第 1 段階 この段階の機構については、すでに発表したように<sup>(3)</sup>、マトリックスの転位

密度が臨界値 ( $\rho_c$ )に達したときにポイドが発生すると仮定すると、 $\epsilon_I$  は式と次の関係となる。

$$\varepsilon_L = (\alpha \varepsilon_0 b \rho_c L)^{1/2} \quad \dots \dots \dots \quad (2)$$

ここで  $\alpha$  は 0.5 程度の定数,  $\epsilon_0$  は転位の tangling などが起こりはじめる歪量,  $\nu$  はバーガス・ベクトルである。 (2)式は  $\epsilon_I$  と  $L$  との間の放物線的な関係を示すものであり, 図 2° の実験結果と一致する。なお,  $L$  は  $v_f$  および  $d_p$  から次式で計算できるものとする。

$$L = \left( \frac{\pi}{2\sqrt{3}} + \frac{1}{V_f} - 1 \right)^{1/2} \cdot d_p \quad \dots \dots \dots (3)$$

### 3.3 延性破壊の第2段階および第3段階

第1段階が終つて材料中にボイドが導入され、そ

の後もある量の塑性変形をともない、最終破断に到る。従来の Internal Necking<sup>(5)</sup>をはじめとする延性破壊のクライテリアは前にも述べたようにすでに材料中に存在するポイドの成長を取扱うものであり、ここでいう第2段階の歪量に対するクライテリアの1つであるといえる。Internal Neckingなどのモデルによるとこの歪量はポイドの体積率によつて決まることになる。しかし本稿で述べた球状炭化物の実験では、この第2段階の歪量は炭化物粒径(または粒間距離)によつて異なり、粒径が大きいほど小さくなる。またこの段階におけるポイドの成長を観察すると、小さなポイドでは引張り軸方向に優先的に成長し、ポイドが歪に応じて相似形的に成長することはない。第2相粒子が大きい場合には、これにともなうポイドも大きく、この段階の歪量は小さくなり、ポイドが発生するとすぐに最終破断に達することが予想される(この例が後で示すパーライト組織の場合である)。

第2段階の終りを決める機構についてはボイドの観察から考えて、最初は引張り軸方向に成長し、このようなボイドから引張り軸とは直角またはある角度をなした(局部的には最大せん断応力の)方向に破壊をひき起こすせん断クラックが発生することによるものと思われる。南雲ら<sup>(6)</sup>はこの考え方をエネルギー的に考察し破断のクライテリアとしている。ボイドが小さいものでは、個々のボイドは破壊のイニシヤティブをとることはできず別個に応力軸方向に成長し、たまたまどれかのボイドからせん断クラックが生じるか、隣接する2,3のボイドの合体により大きなボイドになつたときにその先端での応力集中が十分に大きくなり、マクロ的には引張り軸方向とは直角に成長し、すでに存在する多くのボイドまたは第2相粒子を連ねて大きくなり破断に到る。しかし、第2相粒子がきわめて大きい場合には、それにともなつて発生したボイドが単独でもその先端の応力集中は十分に大きくなり破壊へのイニシヤティブをとりうる。この場合には $\epsilon_{II}$ はきわめて小さくなり、 $\epsilon_f$ はほとんど $\epsilon_I$ で決まってしまう。

延性破壊の最終段階は上述のように、多数のポイドの“共同作業”として起こると考えるよりも、特定のイニシヤティブをとりうるポイドの出現により決まると考えた方がよいと思われる。ポイドがいつイニシヤティブをとりうるようになるかというクライテリアは、ポイドからのせん断クラックの先端の応力集中とマトリックスの理論破壊強度の兼合によつて決まるものである。

ここでは定性的なモデルとして、ボイドがある大きさ  $C^*$  に達したときに最終破断に到るとし、また第1段階の終りに第2相粒子に導入されたボイドの初期の大きさは、第2相粒子程度の大きさ ( $\approx a_p$ ) とし、歪の増大に対して一定の割合  $\alpha$  で成長するとする。このモデルを図式的に示したものが図4である。これによると第2段階の歪量  $\epsilon_{II}$  は次式で示される。

$$\varepsilon_{II} = (c^* - d_p) / G \quad \dots \dots \dots \quad (4)$$

但し、 $d_p$  が  $c^*$  よりも大きければ  $\varepsilon_0 \approx 0$  と考える。以下このモデルに沿つて実験結果で示した組織の効果について定性的に説明する。

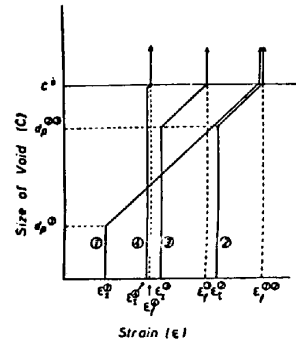


図 4 延性破壊モデル  
の図式表示

## 3.4 球状炭化物の場合

まず  $V_f$  が一定で  $a_p$  を変えた場合について考える。この場合、 $a_p$  が小さいとき(図4①)には Lも小さくなり(2)式より  $\epsilon_I$  は小さい。しかし初期ポイドの大きさも小さく(4)式より  $\epsilon_{II}$  が大きくなる。 $a_p$  が大きい場合には逆に(2)式、(4)式から  $\epsilon_I$  は大きくなり、 $\epsilon_{II}$  が小さくなる。このため結果的には(1)式から  $\epsilon_f$  は大差がなくなることになる( $\epsilon_f^{(1)} \approx \epsilon_f^{(2)}$ )。

つぎに  $V_f$  を変えた場合を考える。いま  $V_f$  が上記の例よりも大きいとし、仮に  $a_p$  を②の場合と同じ( $a_p^{(3)} \approx a_p^{(2)}$ )であるとする。 $V_f$  が大きいため  $a_p$  が同じでも(3)式より Lは小さくなり  $\epsilon_I^{(3)} < \epsilon_I^{(2)}$  となる。一方  $\epsilon_{II}$  はあまり変わらないため、 $\epsilon_f^{(3)} < \epsilon_f^{(2)}$  となる。即ち、炭化物粒径が同じであれば、炭化物体積率が大きいほど  $\epsilon_f$  は低下する。

## 3.5 フエライト + パーライトの場合

$V_f$  が同じでも球状炭化物にくらべ、この場合の  $\epsilon_f$  は小さくなることを前に示した。フエライト + パーライトの延性破面ではデインプル底に多くのパーライト・ラメラーが見られること、また変形途中のポイド観察でパーライト・ノジユール径程度のポイドが多く見られることから、この組織においてはノジユールを1つの第2相粒子と見ることができる。この場合球状炭化物では第2相粒子は炭化物单味であるが、パーライト・ノジユールでは炭化物とフエライトの混合物であり、炭化物の体積率が同じでも第2相粒子の体積率は当然大きくなる。平衡的に生成されたパーライトでは炭化物1に対してフエライト7の体積割合となり、パーライト・ノジユールの体積率は  $8V_f$  となる。(3)式の  $V_f$  の代りに  $8V_f$  とし、 $a_p$  の代りに実測ノジユール径を用い、(2)式からの  $\epsilon_I$  の計算値を図5に示した。この結果によるとフエライト+パーライトの場合には  $\epsilon_f$  中に占める  $\epsilon_I$  の割合は大きく、 $V_f$  が大きくなるほどこの傾向が強い。即ち、第2相粒子が大きい場合には、粒間距離に応じた歪( $\epsilon_I$ )後にポイドが発生し、すぐに最終破断に到つてしまう(図4④)。

## 3.6 パーライトとペイナイトの混合組織の場合

この場合の組織はパーライト・ノジユール間のフエライト域は細かく分散したペイナイト炭化物で埋められ、大きな第2相粒子とその間を埋める細かく分散した第2相粒子の混合組織とみてよい。この場合にはLが小さいため(2)式より  $\epsilon_I$  が小さく、さらに大きな第2相粒子があるために(4)式より  $\epsilon_{II}$  も小さくなる。このため、このような混合組織が最も不利な条件が重なることになり  $\epsilon_f$  はいちじるしく小さくなる。

## 3.7 ペイナイトの場合

この場合には、上記の混合組織とくらべて、細かいペイナイト炭化物が分散していることには変わりがなく、Lは同程度であり、 $\epsilon_I$  も同程度である。しかるに、大きな第2相粒子の役割をするパーライトがないため、 $\epsilon_{II}$  は当然大きくなり、結果として  $\epsilon_f$  は回復することになる。図3の実測値と合せて、パーライト、パーライトとペイナイトの混合、ペイナイト組織における上記モデルからの  $\epsilon_f$  の計算値を示した。

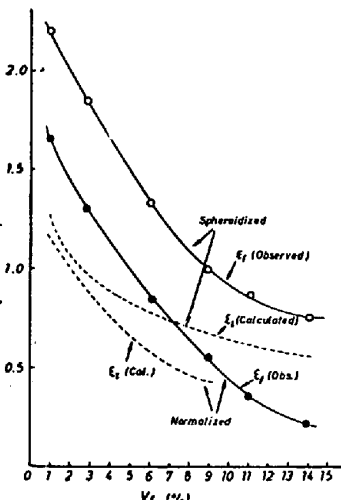


図5 球状化および焼ならし組織の  $\epsilon_f$  実測値と  $\epsilon_I$  の計算値

## 4. 文 献

- |   |  |
|---|--|
| 1) B.I. Edelson, W.M. Baldwin: Trans ASM, 55 (1962) 230 | 2) F.B. Pickering:   |
| 鋼の強靭性 (1971 京都国際会議) P.9                                 | 3) T. Inoue, S. Kinoshita: The Microstructure and Design of Alloys |
| (第3回金属と合金の強度国際会議, 1973, Cambridge, England) P. 159      | 4) M.F. Ashby: Phil. Mag.,   |
| 14 (1966) 1157  | 5) F.A. McClintock: J. Appl. Mech., 35 (1968) 363                  |
| (1973) 1661   | 6) M. Nagumo: Acta Met., 21  |